

1. まえがき 飽和粘土の等方圧密試験と平均有効主応力一定の排水三軸試験の結果に基づいて、主応力一定の異方圧密試験における応力・ひずみ・時間挙動を説明することが出来れば、少なくとも部分荷重をかけた構造物中央面下における粘土地盤の多次元的地下計算法の手掛りは得られるものと考えられる。本文は、等方圧密試験とp'-定試験におけるひずみ成分をモデル化することにより、具体的に上記のことを説明する方法を提案したものである。

2. 応力・ひずみ関係のモデル化 等方圧密における圧密、p'-定試験におけるタイランレー、せん断変形によるひずみと応力・時間に関するモデルを図-2.1の5つに仮定する。ここで、 t_p , t_s , t_f はそれぞれ一次元的地下終了時間、 t_s は二次元的地下過程のある時間、 t_f は次下収束時における時間を示している。従って、この時間におけるひずみはそれぞれ下のグラフの p, s, f を付して表わす。最大主応力を σ_1 とするとき、 $p' = (\sigma_1 + 2\sigma_3)/3$, $s = \sigma_1 - \sigma_3$ である。

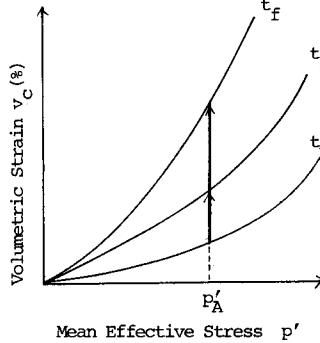


図-2.1(a)

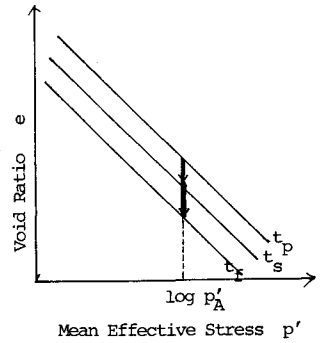


図-2.1(b)

3. 異方圧密における体積変化と変形

一次元圧密と同様に多次元圧密においても地下計算に必要なものはひずみ量とひずみの経時変化である。柴田、大田¹⁾は指摘している様に体積ひずみは圧密によるひずみとせん断ひずみそれぞれの重ね合わせが成り立つ

$$dV = dV_v + dV_s \quad (3.1)$$

と表わせばよい。ここで、 V_v, V_s, V_a は全体積ひずみ、圧密、せん断による体積ひずみである。 V_v については周知の5つに

$$dV_v = \frac{C_c}{1+e_0} \cdot \frac{dp'}{p'} \quad (3.2)$$

が認められているが、 dV_s については必ずしも表現が一定ではないと思われる

$$V_s = f(\eta) \quad (\eta = s/p'), \quad dV_s = df \cdot d\eta \quad (3.3)$$

と置くことにすると次式が得られる。

$$dV = \left(\frac{C_c}{1+e_0} \right) \cdot \left(\frac{dp'}{p'} \right) + df \cdot d\eta \quad (3.1, a)$$

関数 $f(\eta)$ については Cam Clay model²⁾ は $\frac{1}{1+e} \frac{\lambda - k}{M} \eta$, 柴田・大田式¹⁾ は $M\eta$, Roscoe-Burland による Modified Model³⁾ では $\frac{\lambda - k}{1+e} \ln \frac{M^2 + \eta^2}{M^2}$ として与えられるが、筆者が⁴⁾ 用いた軟弱粘土については柴田・大田式と同形と仮定してこれを $V_s = f(\eta) = Dk\eta_k$ ($\eta_k = \frac{s}{p} - \eta_0$, η_0 は経時減衰)と表わすことにする。上記粘土 ($G_s = 2.34, W_L = 153, I_p = 66$) の p'-定、 σ_3 -定、 σ_3/σ_1 -定の三軸排水三軸試験から得られる $dV/d\epsilon$ と k

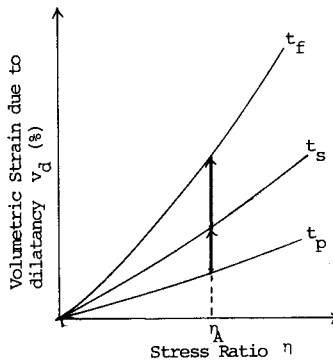


図-2.1(c)

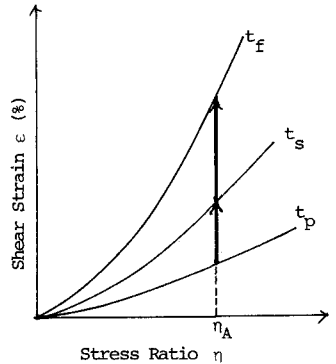


図-2.1(d)

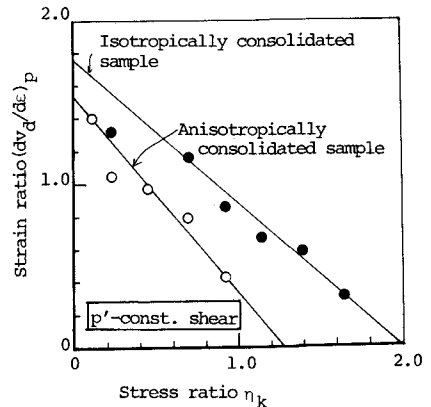


図-3.1

6) の測束 (図-3.2) から次式を仮定する。

$$\frac{dV}{dE} = M - N\gamma_k \quad (M, N; \text{実験定数}) \quad (3.3)$$

式に式 (3.1, a) を代入するとせん断比に関する次式が得られる。

$$dE = \frac{\frac{C_c}{1+e_0} \frac{dp'}{p'} + df d\gamma_k}{M - N\gamma_k} \quad (3.4)$$

主応力比一定試験の場合 $d\gamma_k = 0$ とするからこの条件を上式に代入すると

$$E = \frac{\frac{C_c}{1+e_0} \log \frac{\sigma_1}{\sigma_1'}}{M - N\gamma_k} \quad (3.5)$$

を得る。これと主応力比一定の異方圧密試験結果(加圧効果除去)と比較したのが図-3.2 である。比較のために等圧密 \rightarrow p' 一定 \rightarrow 等方圧密... の繰返しを行なった結果も併記している。この応力経路は図-3.3 に示す通りである。計算値と実験値はほぼ対応しているといえる。

4. γ_k の経時変化の予測 主応力比一定の異方圧密試験はまず載荷直時にせん断応力が作用しその後等圧密 \overline{BC} を経由するといわれている(図-3.3)。しかし、筆者の三軸異方圧密試験では固相水圧の挙動から $t=0$ でいた点 P に至りその後 B に戻った後 \overline{BPC} を経由する。したがって、持排水過程のせん断比を γ_k を即時比、 \overline{BPC} 過程の比を γ_k を γ_k とすると扱いが便利に思われる。この γ_k の変化については現在検討中なので今回は γ_k の変化 \overline{BC} 過程におけるせん断比の経時変化を考えよう。

式 (3.1, a) においてせん断応力 $df = 0$ の条件、すなわち

$$- dp'/p' = d\gamma_k/\gamma_k \quad (3.6)$$

$$\text{を代入すれば、} \quad dV = \left(\frac{C_c}{1+e} - N\gamma_k \right) \frac{dp'}{p'} \quad (3.7)$$

が得られるので、これを式 (3.3) に代入するとせん断比増分式は次式となる。

$$dE = \frac{\frac{C_c}{1+e} - N\gamma_k}{M - N\gamma_k} \cdot \frac{dp'}{p'} \quad E = \frac{\frac{C_c}{1+e} - N\gamma_k}{M - N\gamma_k} \log \frac{p'}{p'_0} \quad (3.8)$$

一次元圧密の行状より $\gamma_k = \Delta p' \left\{ 1 - \exp\left(-\frac{E}{\gamma_k} t\right) \right\}$ を用いるとすると式は

$$E = \frac{\frac{C_c}{1+e} - N\gamma_k}{M - N\gamma_k} \log \left\{ 1 + \frac{Ap}{p_0} \left[1 - \exp\left(-\frac{E}{\gamma_k} t\right) \right] \right\} \quad (3.9)$$

と書ける。計算の例として K_0 圧密 ($\sigma_{10} = 2.0, \sigma_{30} = 1.15 \text{ kg/cm}^2$) 後 $\Delta\sigma_1 = 0.60, \Delta\sigma_3 = 0.15 \text{ kg/cm}^2$ の圧密したときのせん断比の経時変化を予測したのが図-3.5 である。71-70 部分は先に示した実験式による。実験値と計算値はほぼよく対応しているといえる。

5. あとがき 異方圧密における応力比・時間に関する実験式を求めた。この方法では Mandel-Cryer 効果は説明できない。多次元圧密理論と結びつけることが課題である。現在模型実験と実験中心あり これを解析する方法を試みる。

引用文献

1) Ohta, H., et al. (1971); Soils & Foundations, Vol. 11, No. 3, pp. 65-90. 2) Schofield & Wroth (1968); John Wiley & Sons. 3) Roscoe, K. & J. Burland (1968); Eng. Plas., pp. 535-609. 4) 宇原 山保 (1976); 工学論文報告集, No. 46, pp. 83-103. 5) 斎藤 (1975); 第19回土工学会シンポジウム論文集, pp. 111-114. 6) 宇原 山保 (1976); 第11回土工学会研究発表会講演集, pp. 177-180. 7) 宇原 (1976); 土と基礎, Vol. 24, No. 4, pp. 35-41.

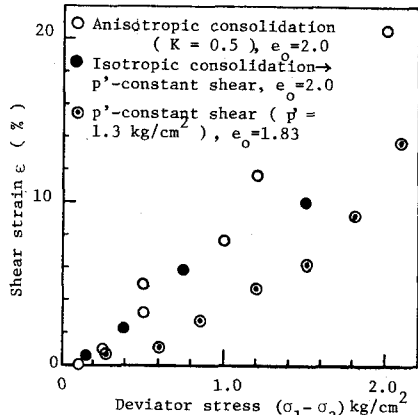


図-3.2 異方圧密時のせん断比

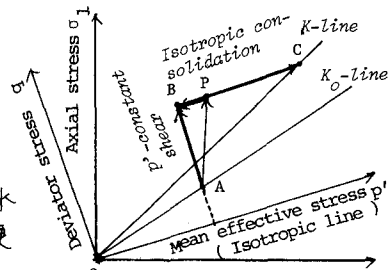


図-3.3 異方圧密時のストレスパス

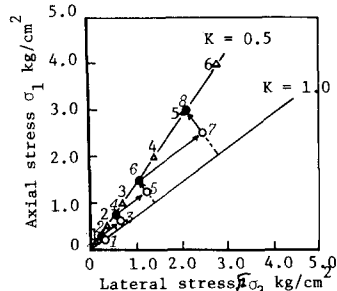


図-3.4

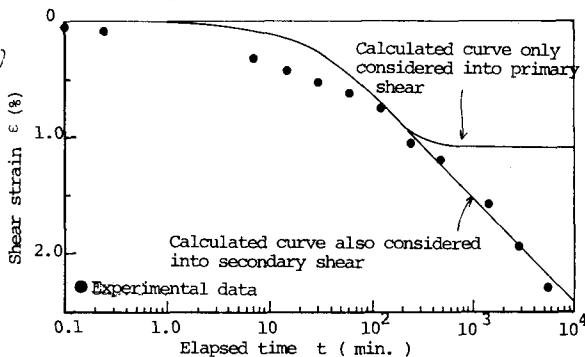


図-3.5 異方圧密時のせん断比の経時変化